



## Evaluation of the effect of chick embryonic notochord on neural induction and differentiation of mouse embryonic stem cells

Maryam Anjomshoa<sup>1,2</sup>, Khadijeh Karbalaie<sup>1</sup>, Shahnaz Razavi<sup>2</sup>, Mohammad Mardani<sup>2</sup>, Somayeh Tanhaei<sup>1</sup>, Mohammad Hossein Nasr-Esfahani<sup>1,\*</sup>, Hossein Baharvand<sup>3,\*</sup>

1. Dept. Stem Cells, Royan Institute, Isfahan Campus, Isfahan, Iran

2. Dept. Anatomical Sciences, School of Medicine, Medical University of Isfahan, Isfahan, Iran

3. Dept. Stem Cells, Royan Institute, Tehran, Iran

Received: 25 Oct 2007

Revised: 9 Feb 2008

Accepted: 17 Feb 2008

### Abstract

**Introduction:** The aim of this study was to evaluate the ability of the notochord to induce differentiation of mouse embryonic stem cells to neurons and/or motor neurons.

**Methods:** In order to produce embryoid bodies (EBs), mouse embryonic stem cells (ES cells) line Royan B1 were grown in suspension in the absence of LIF for 4 days. Then EBs were divided into 4 groups. EBs in groups 1 and 2 were further cultured in suspension for 4 days in the presence of retinoic acid (RA) while EBs in groups 3 and 4 were cultured in the absence of RA. EBs in groups 1 and 3 were also co-cultured with notochord for 4 more days. Numbers and type of neurons were assessed by immunostaining, flow cytometry and RT-PCR techniques.

**Results:** EBs in groups 3 and 4 lead to 5 to 6 % neuron production while EBs in the groups 1 and 2 lead to 42 and 55% neuron production, respectively. There was a significant difference ( $P < 0.05$ ) between groups 3 and 4 with groups 1 and 2. Percentage of motor neurons (Hb9 positive) were significantly higher in group 1 (20.4%) compared with other groups (2-3%).

**Conclusion:** Co-culture of mouse embryonic stem cells in the presence of notochord did not induce neural differentiation of mouse embryonic stem cells, while notochord may direct neural differentiation of mouse embryonic stem cells toward motor neurons.

**Key words:** Notochord, Neural induction, Embryonic stem cells, Co-culture, Retinoic acid

\* Corresponding Author Email: mh\_nasr@ med.mui.ac.ir and baharvand50@yahoo.com  
Available online @: www.phypha.ir/ppj

## بررسی تأثیر نوتوكورد جنین جوجه در القا و تمایز عصبی سلولهای بنیادی جنینی موش

مریم انجمن‌شعاع<sup>۱\*</sup>، خدیجه کربلایی<sup>۱</sup>، شهناز رضوی<sup>۲</sup>، محمد مردانی<sup>۲</sup>، سمیه تنها<sup>۱</sup>، محمد حسین نصرافهانی<sup>۱</sup>، حسین بهاروند<sup>۳</sup>  
 ۱. گروه سلولهای بنیادی، پژوهشکده رویان شاخه اصفهان، اصفهان  
 ۲. گروه آناتومی، دانشکده پزشکی، دانشگاه علوم پزشکی اصفهان، اصفهان  
 ۳. گروه سلولهای بنیادی، پژوهشکده ری رویان، تهران

دريافت: آبان ۸۶ بازبینی: بهمن ۸۶ پذيرش: بهمن ۸۶

### چكیده

مقدمه: هدف اين مطالعه بررسی توانایي نوتوكورد در القا سلولهای بنیادی جنینی موش به سلولهای عصبی و تمایزابن سلولها به نورونهای حرکتی بود.

روش‌ها: برای تشکیل اجسام شبیه رویانی (EBs)، سلولهای بنیادی جنینی (ES) رده ۱ Royan B1، به مدت چهار روز در محیط کشت فاقد LIF قرار گرفتند. سپس EBs تشکیل شده به چهار گروه تقسیم شدند، در گروه اول و دوم EBs به مدت چهار روز با اسید ریتینوئیک تیمار شدند و در گروه سوم و چهارم تیمار با اسید ریتینوئیک صورت نگرفت. علاوه بر اين، EBs گروه‌های اول و سوم به مدت چهار روز با نوتوكورد کشت داده شدند، سپس EBs از لحاظ درصد و نوع نورونهای حاصل با استفاده از تکنیکهای RT-PCR، ایمنوستیشیمی و فلوسیتومتری مورد بررسی قرار گرفتند.

یافته‌ها: میانگین درصد نورون‌ها در گروه‌های ۱، ۲، ۳ و ۴ به ترتیب ۵۵، ۴۲، ۶ و ۵ درصد بود و از این نظر بین گروه‌های ۱ و ۲ با گروه‌های ۳ و ۴ اختلاف معنی داری ( $P < 0.05$ ) دیده شد. درصد نورونهای حرکتی (Hb9 مثبت) در گروه ۱ (۲۰/۴٪) نسبت به سایر گروهها (۲-۳٪) افزایش چشمگیری داشت.

نتیجه‌گیری: نوتوكورد قادر به القای عصبی سلولهای بنیادی جنینی موشی نمی‌باشد، اما قادر به تمایز سلولهای پیشساز عصبی به نورونهای حرکتی می‌باشد.

واژه‌های کلیدی: نوتوكورد، القای عصبی، سلولهای بنیادی جنینی، هم کشتنی، اسید ریتینوئیک

توجه جنین شناسان به القای عصبی معطوف شده است [۱۵]. تاکنون تحقیقات زیادی برای مشخص کردن بافت و یا بافت‌هایی که در القای عصبی نقش دارند انجام شده است و از آنجایی که نوتوكورد در کل دوره نورو‌لاسیون ارتباط نزدیکی با صفحه عصبی در حال تکامل داشته [۳۰]، در تحقیقات فراوانی، نقش آن در القا و تمایز بافت عصبی مورد بحث و بررسی قرار گرفته است.

یکی از بارزترین وقایع تکاملی در جنین مهره‌داران، تشکیل نوتوكورد در مرحله‌ی گاسترولاسیون می‌باشد. نوتوكورد از مرکز سازمان دهنده، که در جنین دوزیستان لبه‌ی پشتی بلاستوبور و

مقدمه در طی تکامل جنین واکنشهای القایی زیادی وجود دارد که در این واکنشها سیگنال‌هایی از یک گروه سلولی روی گروه سلولی دیگری که معمولاً در مجاورت آنها قرار دارند تأثیر گذاشته و باعث تمایز آنها می‌شوند. در بین این واکنشها، بیشتر

\* نویسنده مسئول مکاتبات: mh\_nasr@ med.mui.ac.ir and baharvand50@yahoo.com  
ویگاه مجله: www.phypha.ir/ppj

که از توده سلولی داخلی بلاستوسیست قبل از لانه گزینی و یا از اپی بلاست جدا می‌شوند [۲۳] و قادرند با حفظ طرفیت پر توانی خود در حالت تمایز نیافته، توانایی تقسیم خود را تا مدت نامحدودی حفظ نمایند. این سلولها در شرایط مناسب، قادر به تمایز به انواع سلولها مانند سلولهای قلبی [۲۹]، سلولهای پوست [۴] و سلولهای عصبی [۵] می‌باشند. تحقیقات مختلف نشان داده‌اند که می‌توان از سیستم‌های هم کشتی سلولهای بنیادی چنینی با سلولها و یا قطعات بافتی مختلف، به منظور بررسی تمایز سلولی استفاده کرد و مشخص شده در این سیستم‌ها، سلولها از وقایع تکوینی موجود زنده تقلید می‌کنند [۸]. با توجه به اینکه بافت‌های چنین جوچه اثرات القایی روی بافت‌های پستانداران داشته، از معادل موشی خود بزرگتر بوده و به راحتی از چنین جدا می‌شوند، در اکثر سیستم‌های هم کشتی از بافت‌های این چنین‌ها استفاده شده است [۲۵، ۲۶]. در این مطالعه برای نشان دادن نقش نوتوکورد در القا و تمایز سلولهای عصبی، برای اولین بار از هم کشتی نوتوکورد چنین جوچه و سلولهای بنیادی چنینی موشی به منظور بررسی نقش نوتوکورد در القا و تمایز سلولهای عصبی استفاده شد.

## مواد و روش‌ها

مواد مورد استفاده در این مطالعه عبارت بودند از: محیط Gibco، 41300-021 (L15)، آنزیم دیسپاز (Gibco، 10829 – 018) DMEM، سرم جنین گوساله (Gibco، 17105-041 Fetal Calf Serum; FCS، Gibco، 10439-)، پنی سیلین-استرپتومایسین (Gibco، 15140 – 0148)، سرم (Sigma، M 7145)، اسید آمینه‌های غیر ضروری (Sigma، M 7522)، فاکتور مهار کننده لوکمی بتامر کاپتوانول (Sigma، M ESG1107)، ال-گلوتامین (Gibco، 25030-024)، انسولین-ترانسفرين-سلنایت سدیم (Gibco، 41400-045)، پروپیدیوم Retinoic Acid; (Sigma، P4170)، اسید رتینوئیک (Sigma، A7003)، کلرید سدیم (Sigma، C7902)، کلرید کلسیم (Sigma، S5886)، ژلاتین (Sigma، G2500)، آنتی بادی اولیه MAP2 (Microtubule associated protein، ۰۲۳)

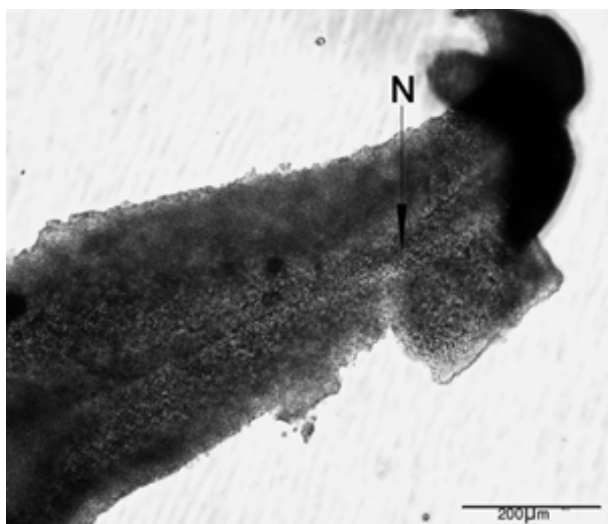
در چنین آمنیون داران گره هنسن نامیده می‌شود، بوجود می‌آید [۳۲] و در مهره داران اولیه مانند بی آروارگان (لمپری) در تمام طول زندگی وجود داشته، اما در مهره داران عالی ساختمانی موقعی می‌باشد، به این ترتیب که درنواحی تشکیل مهره‌ها استخوانی شده [۲] و در مرکز دیسکهای بین مهره‌ای باقی مانده و نوکلئوس پالپوزوس را تشکیل می‌دهد [۳۱].

در مهره‌داران عالی دو نقش مهم به نوتوکورد نسبت داده شده است. اولین نقش نوتوکورد، نقش ساختمانی آن است که به عنوان یک اسکلت محوری تا زمان تشکیل سایر ساختمانها مانند مهره‌ها، عمل می‌کند. نقش دوم و مهمتر آن عمل کردن به عنوان یک مرکز سازمان دهنده است، به این ترتیب که با ترشح مولکولهای مختلف روی اکثر بافت‌های اطراف خود از جمله صفحه‌ی عصبی، سومیتها، جوانه‌ی خلفی پانکراس و عروق خونی اثرمی گذارد [۳۲]. در مورد نقش نوتوکورد در القا و تمایز لوله‌ی عصبی اختلاف نظر وجود دارد. مطالعات اسپیمان شد که مهم ترین واقعه در شروع نوروزن تشکیل نوتوکورد است که باعث تبدیل بخشی از اکتودرم به صفحه‌ی عصبی می‌شود. تحقیقات اولیه در پرندگان و پستانداران نیز نشان داد که در آمنیون داران نیز مانند دوزیستان، نوتوکورد قادر به القای اکتودرم به صفحه‌ی عصبی بوده [۱۶] و بعد از تشکیل صفحه‌ی عصبی، باعث الگو یابی لوله‌ی عصبی اولیه در ساقه مغز و طناب نخاعی می‌شود [۳۸]. در مقابل بعضی از دانشمندان معتقدند که نوتوکورد در القای عصبی اولیه نقش نداشته و تنها در تشکیل انواع سلولهای بخش شکمی لوله‌ی عصبی نقش دارد [۱۷]. جهت بررسی نقش نوتوکورد در القا و یا الگو دهی بافت عصبی، از روش‌های متفاوتی استفاده شده است. به این ترتیب که در بعضی آزمایشات، نوتوکورد را از چنین جدا کرده و به پیامدهای حذف نوتوکورد پرداخته شده است [۱۲] و در برخی دیگر نوتوکورد را با قطعات بافتی مختلف از جمله صفحه‌ی عصبی هم کشتی داده‌اند [۲۷]. با توجه به نتایج به دست آمده از تحقیقات مختلف در مورد نقش نوتوکورد در القا و تمایز بافت عصبی اظهارات متناقضی بیان شده است.

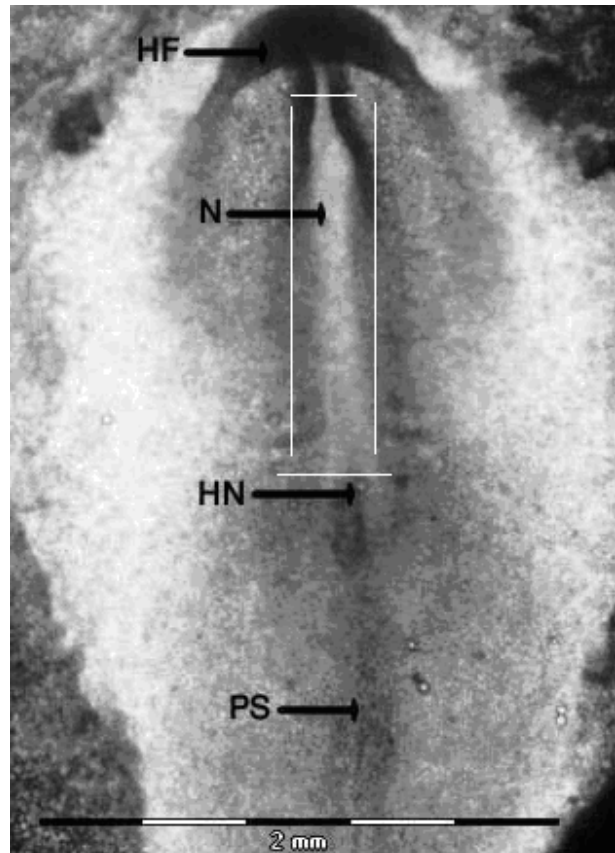
سلولهای بنیادی یک مدل آزمایشگاهی با ارزش برای بررسی تأثیر فاکتورهای مختلف مؤثر در مراحل اولیه‌ی تکامل پستانداران می‌باشند [۲۲]. این سلولها، سلولهایی پر توان هستند

همیلتون (HH) بدست آمد [۹]، از آنجایی که نوتوكورد دارای خواص القاء کنندگی از مرحله ۶ HH بوده و آن را تا زمان بسته شدن لوله‌ی عصبی حفظ می‌کند، از نوتوكورد مراحل ۶-۱۰، HH (۲۰ تا ۳۰ ساعت پس از انکوباسیون) استفاده شد [۱۸، ۲۷].

جدا نمودن جنین جوجه از روی سطح زرده؛ بعد از گذشت زمان لازم و خارج نمودن تخم مرغها از انکوباتور آنها را بصورت افقی روی سطح صافی به حالت سکون قرار داده، در این وضعیت جنین‌ها روبه بالا قرار می‌گیرند. پس از شکستن تخم مرغ‌ها در پتری دیش‌های استریل ۱۰ سانتیمتری قرار گرفته‌اند. به کمک حلقه کاغذی استریل جنینها از سطح زرده برداشته شده و به محیط L15 سرد انتقال داده شدند. سپس در زیر استریبو میکروسکوپ الیمپوس مدل SZX12 جنینها از لحاظ مرحله‌ی تکوینی مورد بررسی قرار گرفته‌اند و جنین‌های مناسب انتخاب شدند. نوتوكورد به صورت میله‌ای متراکم و پررنگ در جنین در جلوی گرهی هنسن قابل مشاهده بود (شکل A).  
جدا نمودن نوتوكورد از جنین جوجه؛ به منظور جدا نمودن نوتوكورد از بافت‌های اطراف از روش پلازک استفاده شد [۲۶]، بطور خلاصه روش کار به این ترتیب بود: با کمک سوزن‌های طریف دو برش به صورت عرضی یکی در جلوی گرهی هنسن و دیگری در انتهای سری نوتوكورد و دو برش طولی در دو طرف نوتوكورد ایجاد کرده (شکل ۱) و نوتوكوردهای جدا شده (شکل ۲) را به محیط L15 سرد انتقال داده، در مرحله‌ی بعد جهت جدا کردن نوتوكورد از بافت‌های اطراف، قطعات جدا شده به مدت



شکل ۲- بخش میانی در جلوی گره هنسن از جنین جدا شده است. N- نوتوكورد



شکل ۱- جنین جوجه در مرحله HH ۶ (مرحله‌ی چین سری)، جلوی گره هنسن، در بخش میانی جنین نوتوكورد به صورت میله‌ای متراکم قابل مشاهده است. خطوط سفید رنگ محدوده‌ی برش را نشان می‌دهد. HF: چین سری، N- نوتوكورد، HN، گره هنسن، PS- شیار اولیه

Hb9 protein 2, Sigma, M1406)، آنتی بادی اولیه Sigma، آنتی بادی ثانویه (Sigma, H1413)، FITC (Sigma, E6758)، EDTA، (F1262)، Qiagen، (RNasey)، (Chemicon، AP106F)، Kيت Dulbecco's phosphate buffered saline، (74104)، (Fermentase) DNaseI، (Gibco، 21600-051)، Revert AidTM First strand cDNA Synthesis Kit، (SmarTag، 1622)، (Fermentase، 1622)، (Sigma، T8787)، Triton

روشهای انجام مراحل مختلف تحقیق عبارت بودند از:  
انکوباسیون تخم مرغ؛ تخم مرغ‌های نطفه دار از مرکز اصلاح نژاد مرغ بومی اصفهان خریداری و در درجه حرارت ۳۸ درجه سانتی گراد و رطوبت نسبی ۶۰ درصد در اتمسفر هوا انکوبه شدند. زمان مناسب انکوبه کردن تخم مرغ‌ها برای رسیدن به مرحله تکاملی مورد نظر با استفاده از جدول همبرگ و

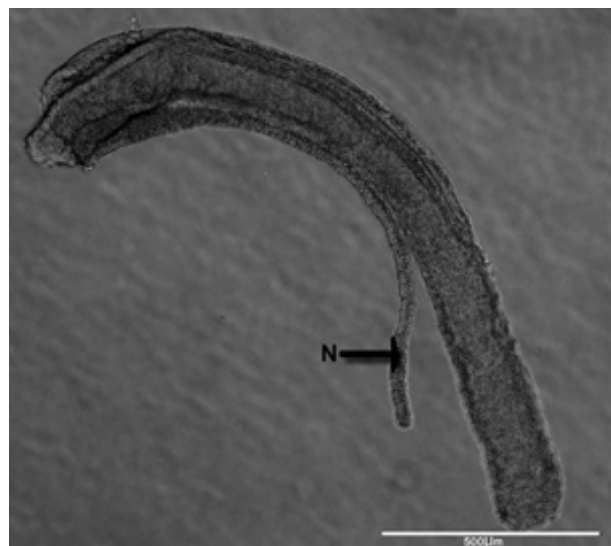
در طی این مدت سلولها بهم چسبیده و EBs را تشکیل دادند. سپس نیمی از EBs را به مدت ۴ روز تحت تیمار با ۱ میکرومول اسید رتینوئیک (RA)، در محیط کشت سلولهای بنیادی فاقد LIF و نیمی دیگر، در همین محیط ولی بدون RA قرار گرفتند. قرار دادن نوتوکوردها در دانه‌های آژینیت: به منظور جدا نمودن قطعات بافتی نوتوکورد از سلولهای بنیادی در هنگام هم کشتنی، قطعات بافتی نوتوکورد در دانه‌های آژینیت قرار داده شدند. آژینیت یک بیopolymer طبیعی است که از آن به عنوان یک بستر یا ماتریکس برای به دام انداختن یا تحویل دادن پروتئینها و سلولهای مختلف استفاده می‌شود [۱]. در این دانه‌ها نوتوکورد قادر به تماس مستقیم با سلولهای ES نبوده و فقط فاکتورهای ترشحی قابل انتشار آنها می‌توانند بر روی این سلولها تأثیر بگذارند. مراحل انجام کار به این ترتیب بود که قطعات نوتوکورد از محیط ۱۵ به محلول آژینیت ۱ درصد (۱ گرم آژینیت در کلرید سدیم ۱۵ مولار) انتقال داده شدند، سپس با ۲۰ میکرولیتر از محلول آژینیت که حاوی ۱۵ تا ۲۰ قطعه نوتوکورد به صورت یک قطره در محلول کلرید کلسیم ۱/۲ مولار قرار گرفتند. بعد از ۱۰ دقیقه محلول کلرید کلسیم را خارج کرده و دو بار با محلول کلرید سدیم ۰/۹ درصد و دو بار با محیط کشت مورد استفاده در مرحله هم کشتنی شتشو داده شدند.

هم کشتنی نوتوکورد و اجسام شبه جنینی: پس از انتقال EBs از هر دو گروه (گروه تحت تیمار و گروه بدون تیمار با RA) به ظروف کشت ۲۴ خانه ای، یک دانه آژینیت به ازای هر خانه آن به ترتیبی اضافه شد که چهار گروه با تیمارهای مختلف که عبارت بودند از: گروه اول، EBs تیمار شده با RA و تحت هم کشتنی با نوتوکورد، گروه دوم EBs تیمار شده با RA، گروه سوم بدون تیمار با RA و تحت هم کشتنی با نوتوکورد و گروه چهارم بدون تیمار با RA تشکیل شدند.

محیط کشت مورد استفاده در این مرحله از محیط DMEM- F12 همراه با مکملهای پنی سیلین- استرپتومایسین ۱ درصد، اسیدآمینه‌های غیر ضروری  $100\text{ }\mu\text{M}$ ، سرم جنین گوساله ۱۵ درصد، ال- گلوتامین ۲ mM و انسولین، سرم جنین گوساله ۱۵ درصد، ال- گلوتامین ۲ mM و انسولین،

ترانسفرین، سلنایت سدیم ۱ درصد تشکیل شده بود.

رورانه تغییرات مرغولوژیکی سلولها در زیر میکروسکوپ اینورت الیمپوس مدل CKX41 مورد بررسی قرار گرفت. از آنجایی که نوتوکورد می‌تواند اثرات القایی خود را بیش از ۱۰۰



شکل ۳- قطعه‌ی نوتوکوردی بعد از تیمار با آنزیم دیسپاز، نوتوکورد (N) در حال جدا شدن از بافتهای اطراف است.

۱۵ دقیقه در محیط L15 حاوی mg /mL ۵ آنزیم دیسپاز قرار گرفتند. سپس قطعات بافتی جدا شده را به محیط L15 سرد که برای خنثی نمودن آنزیم، حاوی سرم بود انتقال داده و ۳۰ دقیقه در دمای ۴ درجه‌ی سانتی گراد نگهداری شدند. پس از این مرحله مجدداً با کمک سوزن‌های ظریف تا حد امکان بافتهای اطراف نوتوکورد را جدا کرده (شکل ۳) و سپس نوتوکوردهای مذکور را از یک پیپت پاستور که انتهای آن با استفاده از شعله باریک شده است، چندین بار به آرامی عبور داده و "نهایتاً" نوتوکوردهای جدا شده در محیط L15 سرد قرار داده شدند.

کشت سلولهای بنیادی جنینی: در این طرح از سلولهای بنیادی جنینی B1 Royan مشتق از موش نژاد BL/6 استفاده شد. این سلولها روی سلولهای فیبروبلاستی جنینی موش، به عنوان لایه‌ی تغذیه کننده و در محیط کشت سلولهای Knockout DMEM بنيادی کشت داده شدند. این محیط از همراه با پنی سیلین- استرپتومایسین ۱ درصد، اسیدآمینه‌های غیر ضروری  $1\text{ mM}$ ، بتامرکاپتواتانول  $100\text{ }\mu\text{M}$ ، سرم جنین گوساله ۱۵ درصد، ال- گلوتامین ۲ mM و فاکتور مهار کننده لوکمی  $1000\text{ U/ml}$  تشکیل شده است.

جهت تشکیل EBs به ازای هر میلی لیتر از محیط کشت سلولهای بنیادی فاقد LIF تعداد  $50000$  سلول بنیادی جنینی به دیش‌های غیر چسبنده انتقال داده شد. سپس در انکوباتور در دمای  $37^\circ\text{C}$  و  $5\text{ CO}_2$  به مدت ۴ روز نگهداری شدند.

جهت سنتز cDNA، طبق روش پیشنهادی کیت First strand cDNA Synthesis Kit Revert Aid™ گرفت. واکنش PCR با پرایمرهای جدول ۱ به کمک آنزیم SmarTag صورت گرفت.

فلوسيوتومتری: از اين روش به منظور تعیین درصد دقیق سلولهای عصبی و نوع سلولهای عصبی تمایز یافته پس از ۱۲ روز کشت، استفاده شد. به اين ترتیب که ابتدا EBs تریپسینه شده و به صورت تک سلولی درآمدند، سپس EBs هر گروه جمع آوری شد و در بافر شستشو قرار گرفتند. بافر شستشو شامل FBS ۱درصد، EDTA ۲ mM و PBS میباشد. در مرحله‌ی بعد سلولها با استفاده از پارافرمالدئید ۴ درصد ثبیت شده و با کمک محلول TritonX100 ۲ درصد نفوذپذیر گشتند، بعد از انکوبه کردن سلولها با سرم بز ۱۰ درصد، آنتی بادی اولیه رقیق شده نمونه‌ها اضافه شد و به مدت ۱ ساعت در دمای ۴ °C قرار گرفتند. در نهایت سلولها با آنتی بادی ثانویه FITC به مدت ۳۰ دقیقه در دمای ۴ °C انکوبه شدند و سلولها توسط دستگاه فلوسيوتومتر پارتک مورد بررسی قرار گرفتند. داده‌ها توسط نرم افزار فلوماکس e ۲.4 آنالیز شدند.

آنالیز آماری: جهت آنالیز آماری و مقایسه‌ی میانگین سلولهای عصبی در هر گروه، از نرم افزار SPSS ۱۱/۵ و تست آماری ANOVA استفاده شد، مقادیر  $P < 0.05$  به عنوان سطح معنی دار در نظر گرفته شد.

## یافته‌ها

نتایج نشان داد که بعد از جدا سازی و کشت قطعات نوتوکوردی حاصل از جنین جوجه، بعضی از ویژگیهای خاص نوتوکورد از جمله ساختمن میله‌ای شکل آن حفظ نشده و "معمولًا" این قطعات با طول متوسط ۱ تا ۳ میلیمتر به دور خود پیچیده (شکل ۴) و سلولها از بافت اصلی مهاجرت کرده و مرفولوژی آنها بعد از گذشت ۲۴ ساعت تغییر کرد، یکی از دلایل این امر را می‌توان به نحوه‌ی جدا سازی قطعات و استفاده از آنزیم دیسپار نسبت داد که باعث از بین رفتن غلاف اطراف نوتوکورد می‌شود.

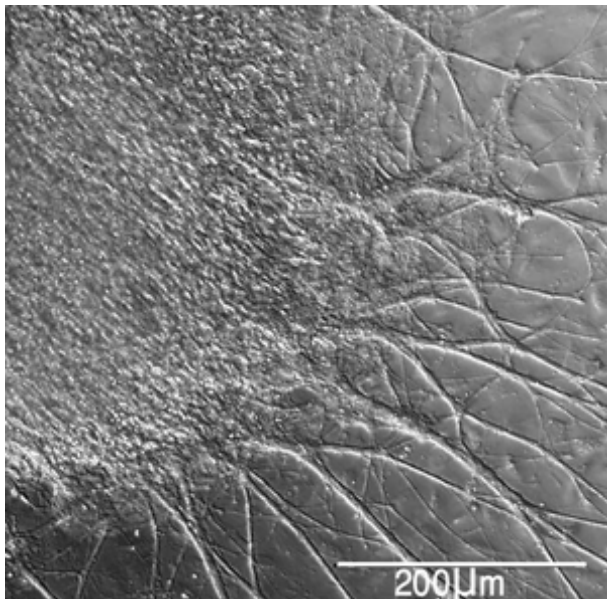
مرفولوژی گروههای مورد مطالعه با میکروسکوپ اینورت

ساعت حفظ کند [۲۷] کشت به مدت ۴ روز ادامه یافت. سپس سلولها جمع آوری شده و مورد بررسی قرار گرفتند. اینموستوژنی: مراحل انجام کار بطور خلاصه به این ترتیب بود، ثابت نمودن سلولها با پارافرمالدئید ۴ درصد، نفوذپذیر کردن سلولها با محلول ۰/۲ درصد Triton X100 به مدت ۱۵ دقیقه در دمای ۴ °C، بلوكه کردن سلولها به مدت ۱ ساعت در دمای ۳۷ °C در سرم بز ۱۰ درصد، قرار دادن در آنتی بادی اولیه رقیق شده MAP2 (به نسبت ۱ به ۲۰۰) و Hb9 (به نسبت ۱ به ۴۰۰) به مدت ۱ ساعت در دمای ۴ °C، انکوبه کردن نمونه‌ها با آنتی بادیهای ثانویه FITC به مدت ۱ ساعت در دمای ۴ °C و در مرحله‌ی آخر هسته‌ی سلولها با محلول ۰/۲ mg/mL پروپیدیوم یدید رنگ آمیزی شد. نمونه‌های رنگ شده با میکروسکوپ فلوروسانس الیمپوس مدل BX51 مورد بررسی قرار گرفتند. با استفاده از دوربین الیمپوس مدل DP70 و نرم افزار اولیسیا (Olysia) از نمونه‌ها عکسبرداری شد و درصد سلولهایی که با آنتی بادیهای فوق الذکر رنگ گرفته بودند تعیین گردید.

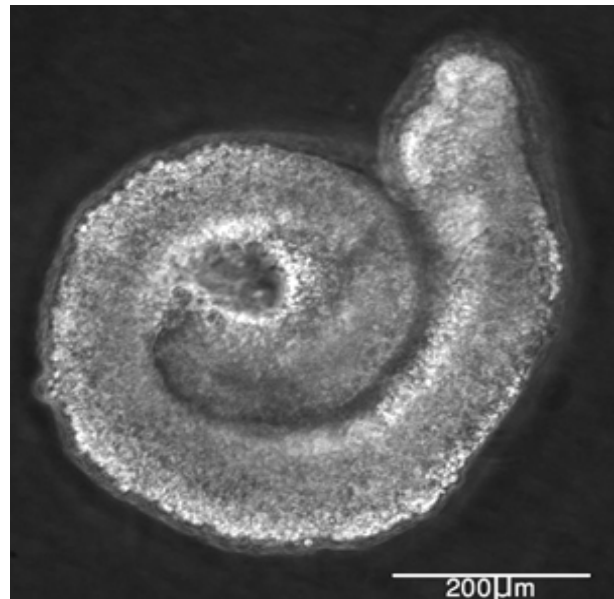
استخراج RNA و RT-PCR: جهت استخراج RNA از نمونه‌ها، از کیت RNeasy با توجه به روش پیشنهادی کیت استفاده شد. سپس RNA استخراج شده با آنزیم DNaseI تیمارشده. مقدار ۲ میکروگرم از RNA استخراج شده

جدول ۱- پرایمرهای مورد استفاده در واکنش‌های PCR

ژن‌ها	توالی پرایمرهای
Oct-4	(F):5'-GCGTTCTCTTGAAAGGTGTTCT-3' (R):5'-CATACTCGAACCCACATCCTTCTCT-3'
Nestin	(F):5'- TCGAGCAGGAAGTGGTAGG-3' (R):5'- TTGGGACCAGGGACTGTTA-3'
PAX6	(F):5'-AGAGGACCCATTATCCAGATG-3' (R):5'-GCTGACTGTTCATGTGTGTTG-3'
NKX2.2	(F):5'-AGCCCTTCTACGACAGCAG-3' (R):5'-GCGTCACCTCCATACCTTCTC-3'
NKX6.1	(F):5'-GACAAAGATGGAAAGAGAAAAC-3' (R):5'-GGTCCAGAGGTTGTTGTAATC-3'
Olig2	(F):5'-GAACCCGATGATTTTCTGC-3' (R):5'-CCGTAGATCTCGCTCACAGTC-3'
MAP2	(F):5'-GTTCCCACGTCTCCACTTCTC-3' (R):5'-CCAGGTCAATTGTTGCTCTC-3'
α-MHC	(F):5'-CTGCTGGAGAGGTTATTCTCG-3' (R):5'-GGAAGAGTGGAGCGCGCATCAAGG-3'
β-MHC	(F):5'-TGCAAAGGCTCCAGGTCTGAGGGC-3' (R):5'-GCCAACACCAACCTGCCAAGTTC-3'
Pdx1	(F):5'-CGCCACCCCAGTTACAAGC-3' (R):5'-GAACCAGATTTGATGTGTCTCG-3'
Isl1	(F):5'-GACTTGGAGCAAGGGGTTACG-3' (R):5'-ACATGAAAAGTGGCAAGTCTCC-3'
Hb9	(F):5'-GGCGCTTCCTACTCATACC-3' (R):5'-TCCTCTCCGTCTCTCCTCAC-3'
β-Tubulin	(F):5'-TCACTGTGCCTGAACCTTACCC-3' (R):5'-GGAACATAGCCGTAAACTGC-3'

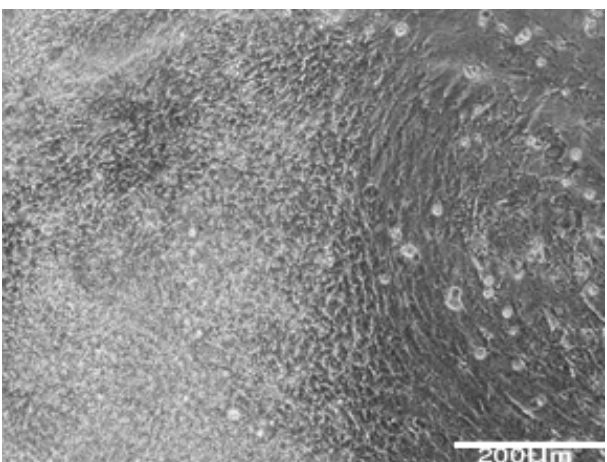


شکل ۵- تمایز سلولهای EBs در گروه اول، بعد از ۴ روز هم کشتی در EBs این گروه سلولهایی با مرفولوژی نورون قابل مشاهده بود.



شکل ۶- نوتوکورد بعد از جدا شدن ساختمان میله‌ای خود را حفظ نکرده و به دور خود می‌پیچد.

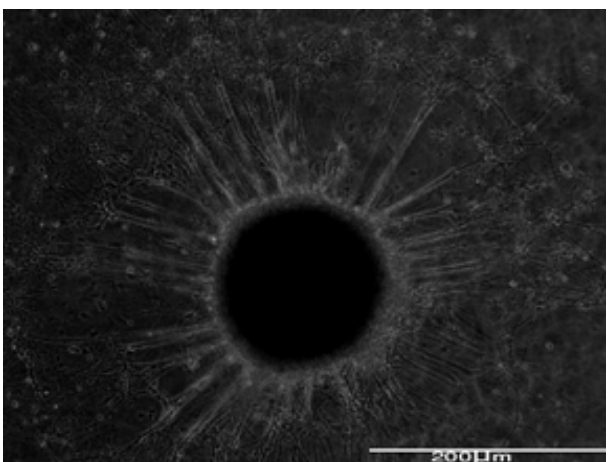
تشکیل EBs، بیان مارکرهای  $\alpha$ -MHC،  $\beta$ -MHC، Nestin و Pdx1 نشان دهندهٔ تشكیل سلولهایی با منشأ هر سه لایهٔ زیایی جنینی می‌باشد، به این ترتیب که Nestin مارکر خاص لایهٔ اکتودرمی و سلولهای پیشساز عصبی [۲۱]،  $\alpha$ -MHC و  $\beta$ -MHC مارکر سلولهای مزودرمی [۲۹] و Pdx1 مارکر سلولهای اندودرمی می‌باشد [۲۲]. در EBs که به مدت ۴ روز تحت تیمار با RA بودند Nestin و Pax6 بیان شده است، بیان همزمان این دو مارکر نشان دهندهٔ تمایز این سلولها به سمت سلولهای پیشساز عصبی است [۳۴]، ولی در EBs که دریافت نکرده‌اند مارکرهای هر سه لایهٔ زیایی جنینی RA بیان شد که نشان‌دهندهٔ تمایز خود بخود در این گروه است.



شکل ۷- EBs در گروه سوم بعد از کشت، اکترا" مرفولوژی خاصی نداشتند.

نشان داد بعد از ۴ روز کشت سلولهای عصبی به ویژه در گروه اول (شکل ۵) و دوم (شکل ۶) قابل مشاهده اند، در گروه سوم اکثر EBs مرفولوژی خاصی نشان نمی‌دهند (شکل ۷) و در گروه چهارم درصد زیادی از EBs دارای ضربان می‌باشند (شکل ۸).

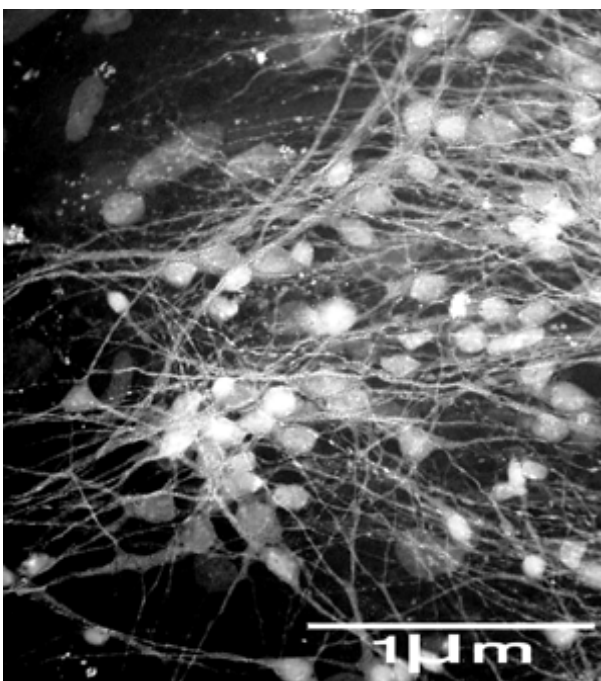
نتایج RT-PCR نشان داد که سلولهای بنیادی مارکر Oct4 را بیان می‌کنند (شکل ۹)، این ژن در سلولهای بنیادی بیان شده و نشان دهندهٔ پرتوانی این سلولها می‌باشد [۳]. بیان این مارکر در سایر گروههای مورد مطالعه نیز دیده شد که نشان می‌دهد سلولهای بنیادی در بین سایر سلولها، با وجود گذشت زمان و تمایز سلولی، وجود دارند. بعد از گذشت ۴ روز و



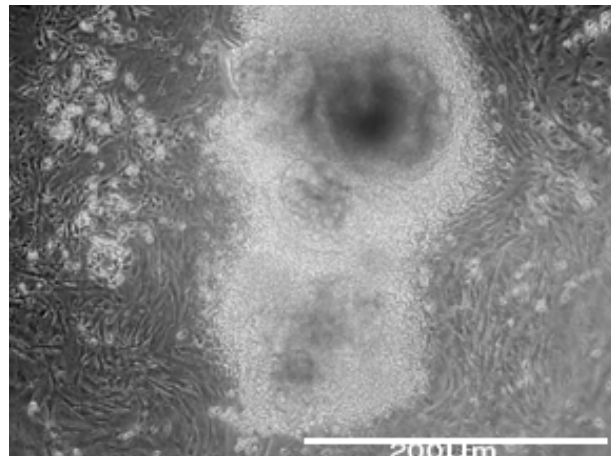
شکل ۸- EBs در گروه دوم بعد از کشت، سلولهای با مرفولوژی نورونی مشاهده می‌شوند.

نتایج ایمنوستیتوشیمی (شکل ۱۰) و فلوسیتومتری (شکل ۱۱) نیز نشان داد که در این گروه، سلولهای عصبی  $55\text{ MAP2}^+$  درصد کل سلولها را تشکیل داده و درصد نورونهای حرکتی  $20/4\text{ Hb9}^+$  می‌باشد (شکل ۱۲ و ۱۳).

در گروه دوم بیان مارکرهای  $\text{MAP2}$ ,  $\text{Olig2}$  و  $\text{Nkx6.1}$  (شکل ۹) نشان داد که اکثر سلولهای حاصل احتمالاً "الیگو دوندروسیت" و یا سلولهای پیشساز نورونهای حرکتی می‌باشند، ولی سلولهای عصبی حرکتی بالغ در این گروه تمایز نیافته‌اند. نتایج ایمنوستیتوشیمی (شکل ۱۴) و فلوسیتومتری (شکل ۱۵) نشان‌دهنده‌ی حضور  $25$  تا  $42$  درصد نورون در این گروه بود ولی درصد نورونهای حرکتی اندک و  $3$  درصد کل سلولها را تشکیل می‌داد (شکل ۱۶، ۱۷). بین درصد نورونها در گروه اول و دوم اختلاف معنی داری دیده نشد (شکل ۱۸)، اما بین تعداد نورونهای حرکتی حاصل در این دو گروه اختلاف معنی دار وجود داشت (شکل ۱۹). نتایج RT-PCR (شکل ۹، ۲۰، ۲۱) و فلوسیتومتری (شکل ۲۲، ۲۳) ایمنوستیتوشیمی (شکل ۱۰، ۱۱) و فلوسیتومتری (شکل ۱۲، ۱۳) در گروه سوم و چهارم مورد مطالعه نشان داد که مارکرهای خاص سلولهای عصبی در این دو گروه بیان نشده و سلولهای عصبی درصد بسیار کمی از کل سلولها را تشکیل می‌دهند، که به ترتیب در گروه سوم و چهارم  $6$  و  $5$  درصد بود که مشابه

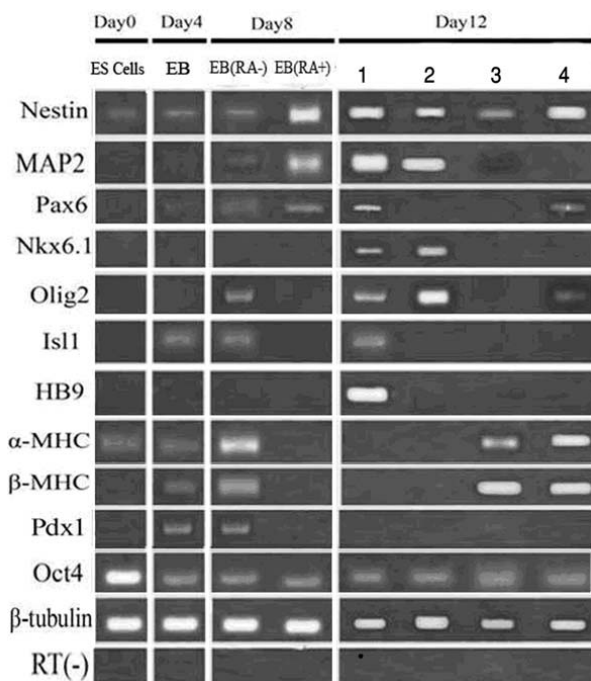


شکل ۱۰ - سلولهای عصبی  $\text{MAP2}^+$  در گروه اول.



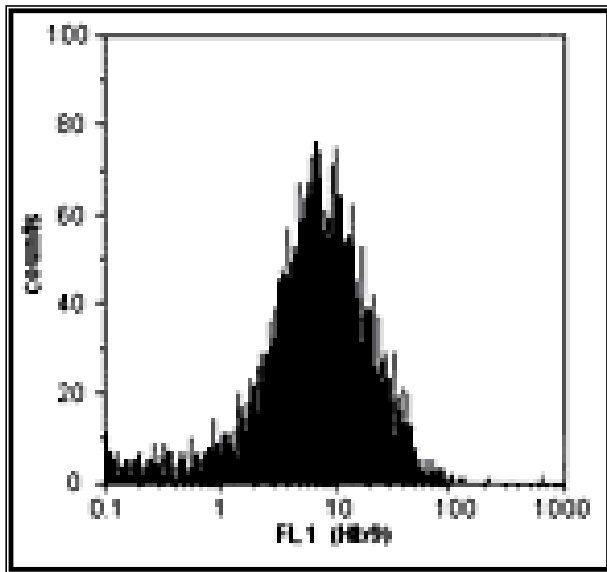
شکل ۸ - EBs در گروه چهارم بعد از کشت، اکثراً دارای ضربان بودند.

بعد از ۱۲ روز در گروه اول، ژنهای  $\text{MAP2}$ ,  $\text{Nkx6.1}$ ,  $\text{Olig2}$  و  $\text{Hb9}$  بیان شد (شکل ۹).  $\text{MAP2}$  مشخصه‌ی سلولهای عصبی بالغ [۲۸]،  $\text{Nkx6.1}$  مارکر سلولهای پیشساز نورونهای حرکتی [۲۲]،  $\text{Olig2}$  مارکر سلولهای پیشساز نورونهای حرکتی [۱] و  $\text{Hb9}$  مارکر نورونهای حرکتی بالغ می‌باشند [۲۰]. در مجموع این الگوی بیان ژنی نشان میدهد که در این گروه علاوه بر تشکیل سلولهای پیشساز نورونهای حرکتی، نورونهای حرکتی بالغ نیز تمایز یافته‌اند.



شکل ۹ - لگوی بیان ژنها در سلولهای ES و EBs در تیمارهای مختلف بعد از ۴،

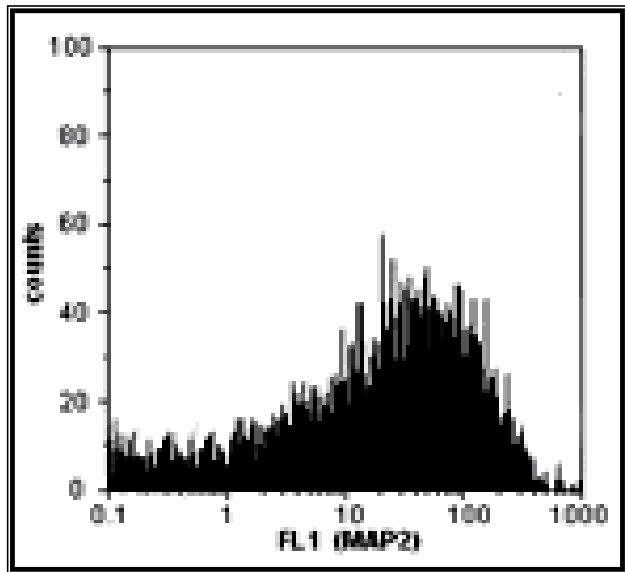
۸ روز



شکل ۱۳- نتایج فلوسیتمتری با استفاده از آنتی بادی Hb9 در گروه اول، ۲۰/۴ درصد کل سلولها را نورونهای حرکتی تشکیل دادند.

پرندگان انجام شده و در پستانداران به دلیل در دسترس نبودن سیستم‌های آزمایشگاهی مناسب این پدیده مستقیماً "مورد مطالعه قرار نگرفته است. تحقیقات نشان داده‌اند که می‌توان از سلولهای ES به عنوان ابزاری در مطالعه ی مراحل مختلف تکوین جنین پستانداران استفاده کرد و مکانیسمهایی که باعث تمایز عصبی در موجود زنده می‌شوند را در آزمایشگاه مورد بررسی قرار داد [۷]. در بسیاری از تحقیقات، به منظور بررسی تمایز سلولی، از سیستم‌های هم کشتی سلولهای ES با سلولها و یا قطعات بافتی مختلف استفاده شده است. در این تحقیق به منظور نشان دادن تأثیر نوتوكورد در تمایز عصبی، از هم کشتی سلولهای ES موشی با قطعات نوتوكوردی حاصل از جنین جوجه استفاده شد.

مشاهدات مرفلوژیک در گروه چهارم نشان داد که اکثر EBs حاصل ضربان دار بوده و در واقع به سلولهای عضله ی قلبی تمایز یافته‌اند و با وجودیکه در گروه سوم سلولها مرفلوژی خاصی را نشان ندادند اما نتایج RT-PCR نشان دهنده ی وجود سلولهایی با منشأ هر سه لایه ی زیایی جنینی در EBs این دو گروه بود. درصد سلولهای عصبی در این دو گروه پایین بوده و نشان می‌دهد که حتی بعد از هم کشتی EBs با نوتوكورد این تعداد افزایشی نداشته و نوتوكورد، حداقل در این سیستم هم کشتی طراحی شده قادر به القای سلولهای عصبی نمی‌باشد. این نتایج مشابه نتایج تحقیقاتی بود که نشان می‌داد در غیاب هر

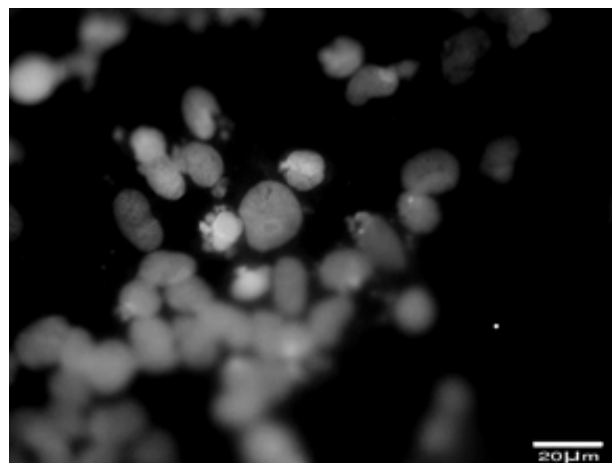


شکل ۱۱- نتایج فلوسیتمتری با استفاده از آنتی بادی MAP2 در گروه اول نورونها ۴۴ درصد از کل سلولها را تشکیل دادند.

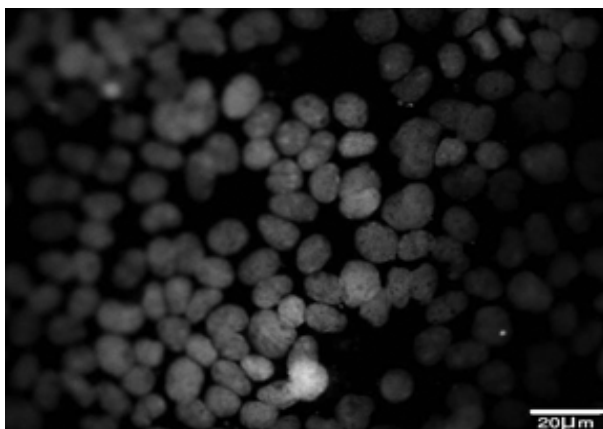
می‌باشد، ولی اختلاف بین گروه اول و دوم با گروههای سوم و چهارم از لحاظ درصد نورونهای MAP2 مثبت معنی دار بود (شکل ۱۸).

## بحث

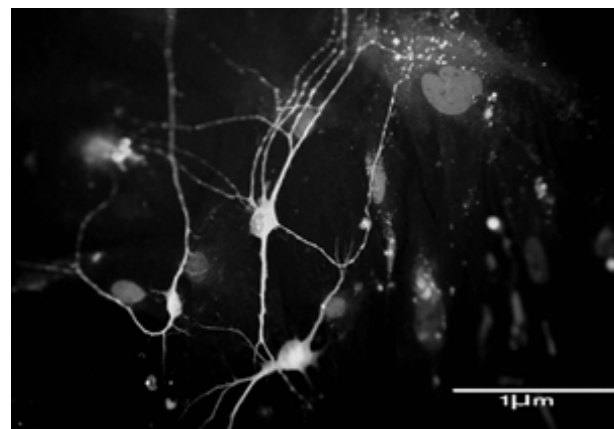
نوتوكورد بخشی از مزودرم محوری است که دارای اعمال بسیار متفاوتی در جنین مهره داران می‌باشد. یکی از اعمال نوتوكورد نقش احتمالی آن در القای عصبی و نورالیزه کردن اکتودرم است. جهت بررسی اثرات نوتوكورد از روش‌های متفاوتی استفاده شده است، بیشتر این مطالعات در جنین دوزیستان و



شکل ۱۲- نورونهای حرکتی Hb9 مثبت در گروه اول، تعداد نورونهای حرکتی افزایش قابل ملاحظه‌ای داشت.



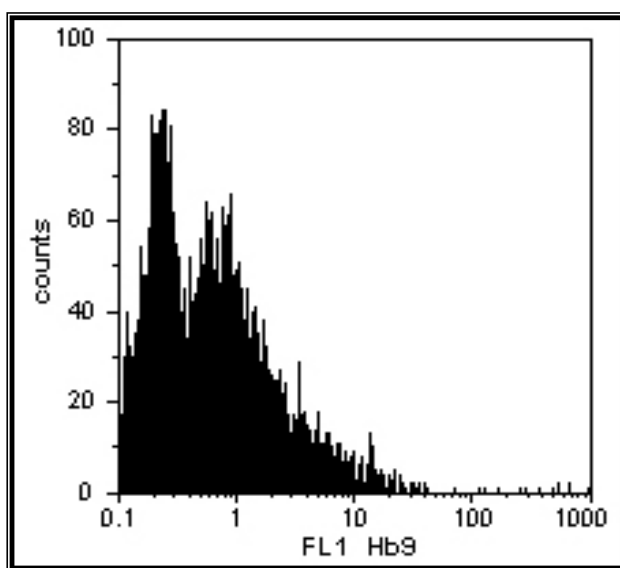
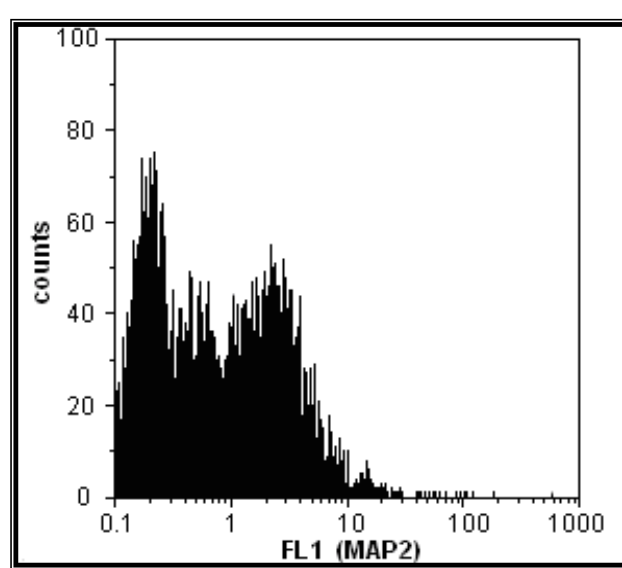
شکل ۱۶ - نورونهای حرکتی Hb9 مثبت در گروه دوم.

شکل ۱۴ - سلولهای عصبی  $MAP2^+$  در گروه دوم

عصبي می باشد [۱۴]. کلين اسميت نقش گره را نيز در القاي عصبي زير سؤال برد هر چرا كه در جنين هاي فاقد گره، القاي عصبي ديده مي شود [۱۳]، پيكولونشان داد كه پروتئينهاي مانند كوردين و نوگين كه از گره ترشح مي شوند با غير فعال كردن BMP4 باعث تشکيل اكتودرم عصبي مي شوند [۲۴] و از آنجايی كه اين پروتئينها از نوتوکورد نيز ترشح مي شود ممکن است كه نوتوکورد نيز به همراه گره در القاي عصبي نقش داشته باشد. تحقيقات ديگري نشان داد كه با وجود يك سيگنالهاي مختلفي كه داراي خاصيت القا كننده سلولهای عصبی هستند در گره ساخته مي شوند، ولی هيچگدام از اين سيگنالها مستقيماً داراي اين فعاليت نisitند [۱۰]. استوارت و گرهاert گزارش كرددند كه سرنوشت عصبي يك سرنوشت از پيش تعين شده اكتودرم بوده و به هيچگونه سيگنال از بافتهاي اطراف وابسته

گونه القا كننده اي، سلولهای ES به سمت تمایز خودبخود رفته و انواعی از سلولهای تمایز یافته با منشا هر سه لایهی زیبای رویانی شامل سلولهای عضله قلبی [۸]، هپاتوسیتها [۲۹] و سلولهای عصبی [۵] مشاهده می شوند، اما درصد سلولهای عصبی بسیار پایین می باشد (حدود ۰/۱ درصد) [۳۷، ۲۲، ۵].

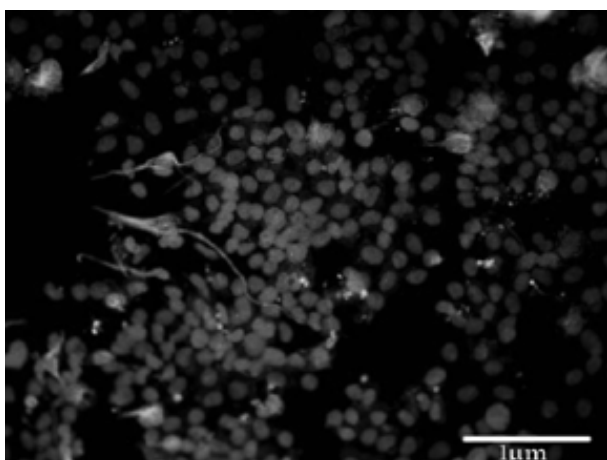
نظرات متفاوتی در مورد چگونگی القاي عصبي اوليه در جنين وجود دارد. تحقيقات اسپiman و مانگولد نشان داد كه نوتوکورد يك القا كننده ای ابتدائي در جنين بوده كه باعث ضخيم شدن اكتودرم روبي خود و تبديل آن به صفحهی عصبی مي شود [۱۷]. تحقيقات فراوانی، نوتوکورد و صفحهی پره كوردي را به عنوان منابع سيگنالهاي القا كننده بافت عصبي معرفی كرده‌اند [۱۰]. نوجن نشان داد كه عصبی شدن اكتودرم به وجود نوتوکورد بستگی نداشته و گره قادر به القاي بافت‌هاي

شکل ۱۷ - نتایج فلوسیتومتری با استفاده از آنتی بادی Hb9 در گروه دوم،<sup>۳</sup> درصد کل سلولها را نورونهای حرکتی تشکیل دادند.شکل ۱۵ - نتایج فلوسیتومتری با استفاده از آنتی بادی MAP2 در گروه دوم،<sup>۴</sup> درصد کل سلولهای این گروه را سلولهای عصبی تشکیل دادند.

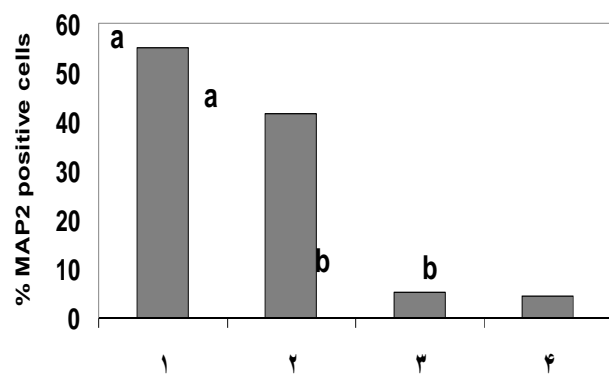
آنچایی که در سیستم عصبی مرکزی RA مشتق از سومیت‌ها هم باعث تشکیل بافت عصبی و هم باعث تشکیل بخش دمی لوله‌ی عصبی (نخاع) می‌شود [۱۹] و در مطالعات فراوانی مشخص شده که در آزمایشگاه نیز RA باعث القای عصبی سلولهای بنیادی جنینی و تبدیل این سلولها به سلولهای بنیادی عصبی می‌شود [۲۲]. جهت انجام مرحله‌ی پیش القای عصبی در این تحقیق، از استفاده شد و پس از ۸ روز، بیان مارکرهای Nestin و RA در EBs که به مدت چهار روز تحت تأثیر RA قرار گرفته بودند نشان دهنده‌ی تمایز سلولهای بنیادی به سمت سلولهای پیش‌ساز عصبی بود. محققین مختلف نیز از RA برای پیش القای سلولهای عصبی استفاده کردند [۳۴].

نتایج تحقیق حاضر نشان داد که در گروه اول و دوم درصد سلولهای عصبی حاصل بعد از استفاده از RA افزایش قابل ملاحظه‌ای داشته ولی بین دو گروه با هم اختلافی دیده نشد. افزایش تعداد سلولهای عصبی به دنبال استفاده از RA در این تحقیق مشابه با تحقیقات دیگران بود که به دنبال استفاده از RA، گزارش کردند که درصد سلولهای عصبی افزایش قابل توجهی داشت [۵، ۳۷].

بین گروه اول و دوم، در نوع ژنهای بیان شده و پروتئینهای خاص سلولهای عصبی حرکتی تفاوت دیده شد، به این ترتیب که همانطور که از نتایج ایمنوسیتوشیمی و RT-PCR مشخص است، درصد سلولهای عصبی حرکتی Hb9 مثبت، در گروه اول افزایش داشتند سلولهای گروه دوم بیشتر مارکر Olig2 را بیان کردند و درصد نورونهای Hb9 مثبت اندک می‌باشد که نشان می‌دهد که استفاده از RA به تنها‌ی برای تمایز نورونهای



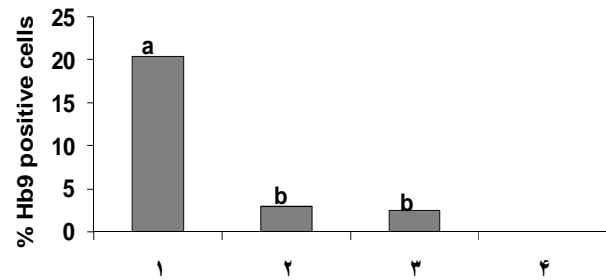
شکل ۲۰- سلولهای عصبی MAP2<sup>+</sup> در گروه سوم.



شکل ۱۸- مقایسه‌ی میانگین درصد سلولهای عصبی MAP<sup>+</sup> در ۴ گروه مورد مطالعه. حروف متفاوت نشان دهنده‌ی اختلاف معنی دار بین گروه‌های ۱ و ۲ با گروه‌های ۳ و ۴ می‌باشد ( $P<0.05$ ).

نیست [۳۳]. در تحقیقات دیگری نشان داده شد که در غیاب نوتوکورد، لوله‌ی عصبی تشکیل شده ولی دارای اندازه‌ی بسیار کوچکی است و در واقع نقش نوتوکورد را تنها تکثیر سلولهای عصبی بعد از القای اولیه‌ای دانسته‌اند که در نتیجه‌ی اثرات القایی گره روی می‌دهد [۳۵]. نتیجه‌ای که در مورد نقش نوتوکورد در القای عصبی می‌توان گرفت این است که نوتوکورد احتمالاً "در القای اولیه‌ی عصبی یا نقشی نداشته و یا سایر بخش‌های جنین دارای خواص القای عصبی هستند و یا اینکه نوتوکورد، این عمل را با همکاری بخش‌های دیگری از جمله گره و مژو درم پاراگزیال انجام می‌دهد [۱۰]."

در این تحقیق برای نشان دادن نقش نوتوکورد در تمایز سلولهای عصبی، سلولهای بنیادی جنینی را به سلولهای بنیادی عصبی تبدیل کرده و سپس با نوتوکورد هم کشتی داده شدند. از

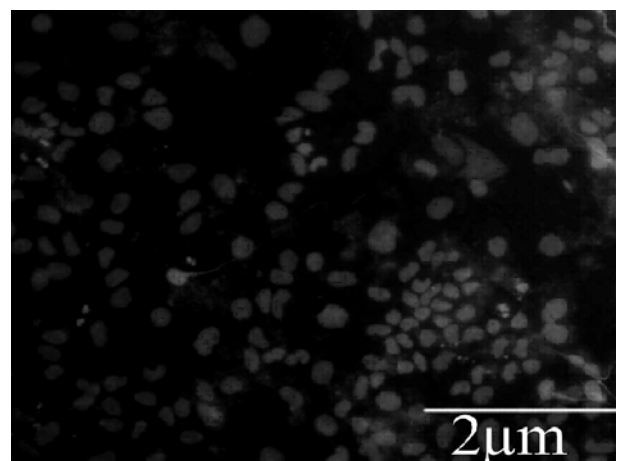


شکل ۱۹- مقایسه‌ی درصد سلولهای عصبی حرکتی HB9<sup>+</sup> در چهار گروه مورد مطالعه، حروف متفاوت نشان دهنده‌ی اختلاف معنی دار بین گروه اول با سایر گروه‌ها می‌باشد ( $P<0.05$ ).

تحقیق حاضر بود که با استفاده از RA و به دنبال هم کشته با نوتوكورد، در صد نورونهای حرکتی به ۲۰ درصد رسید. در مجموع با توجه به این نتایج می‌توان نتیجه گرفت که نوتوكورد در تشکیل نورونهای حرکتی سوماتیک از سلولهای بنیادی جنینی نقش دارد.

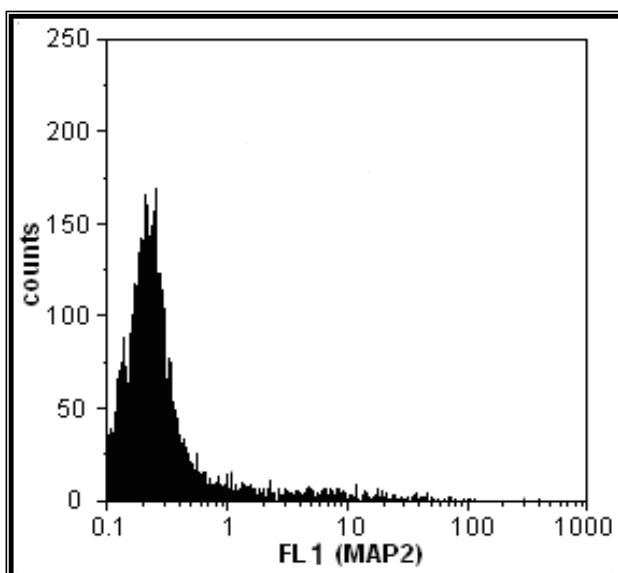
تحقیقات زیادی نقش نوتوكورد را در القای سلولهای بخش شکمی لوله‌ی عصبی از جمله نورونهای حرکتی نشان داده‌اند [۳۶] و مشخص شده که این اثرات را با واسطه Shh انجام می‌دهد [۳۵]. اما در مورد نقش نوتوكورد در تمایز سلولهای بخش وترال لوله‌ی عصبی نظرات دیگری نیز وجود دارد، بطوری که هالپرن و دوارین و تایلت، نقش نوتوكورد را در القای ساختمانهای بخش وترال لوله‌ی عصبی زیرسؤال برده و نتیجه گرفتند که این سلولها از سلولهایی بوجود می‌آیند که از قبل در گره تمایز یافته و به وجود نوتوكورد نیاز ندارند [۳۵].

در مجموع، نتایج این تحقیق موافق با نظراتی بود که نشان می‌داد که نوتوكورد قادر به القای عصبی سلولهای بنیادی جنین نبوده ولی بعد از القای عصبی اولیه، می‌تواند بر تمایز این سلولها تأثیر گذاشته و نورونهای حرکتی را بوجود آورد و از آنجایی که در اطراف نوتوكورد بافت‌های مختلفی قرار دارد برای اینکه نوتوكورد بتواند اثرات القایی خود را بر روی این بافت‌ها اعمال کند نیاز به این است که مراحل القای اولیه در این بافت‌ها صورت گیرد. نتایج همچنین نشان داد که می‌توان از سلولهای بنیادی

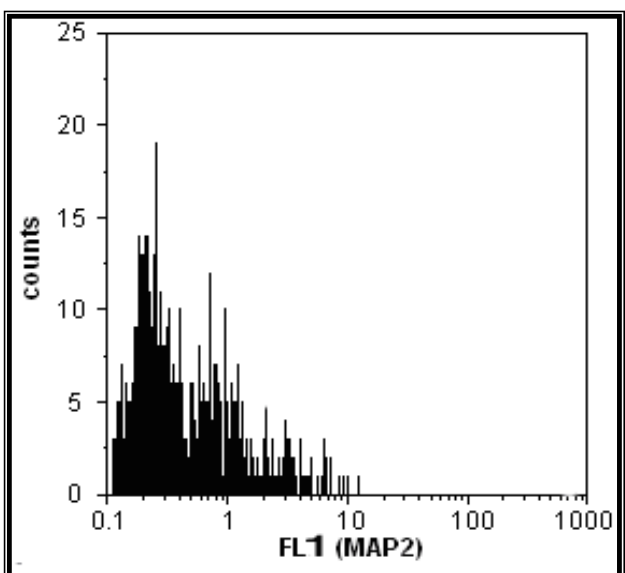


شکل ۲۱- سلولهای عصبی MAP2<sup>+</sup> در گروه چهارم.

حرکتی کافی نمی‌باشد و سلولهای حاصل در این گروه، احتمالاً سلولهای پیش ساز نورونهای حرکتی و یا الیگو دندروسيتها می‌باشند، این نتایج مشابه نتایج اوکادا و همکاران بود که نشان دادند که در EBs که با RA تیمار شده‌اند بعد از ۴ روز Olig2<sup>+</sup> بیان می‌شود [۲۲] و برای اینکه سلولهای Olig2<sup>+</sup> به سمت سلولهای عصبی حرکتی بروند، وجود Shh الزامی است. افزایش نورونهای حرکتی در گروه اول، نشان دهندهٔ نقش احتمالی نوتوكورد در تمایز سلولهای عصبی حرکتی می‌باشد. ویچترل و همکاران گزارش کردند زمانی که EBs با RA و Shh تیمار شوند تعداد نورونهای حرکتی Hb9 مثبت ۲۰ تا ۳۰ در صد کل سلولها را تشکیل می‌دهد [۳۷]، که تقریباً مشابه نتایج حاصل در



شکل ۲۳- نتایج فلوسیتومتری با استفاده از آنتی بادی MAP2 در گروه چهارم، ۵ درصد کل سلولهای این گروه را سلولهای عصبی تشکیل دادند.



شکل ۲۴- نتایج فلوسیتومتری با استفاده از آنتی بادی MAP2 در گروه سوم، ۶ درصد کل سلولهای این گروه را سلولهای عصبی تشکیل دادند.

- Embryonic stem cells express neuronal properties in vitro. *Dev Biol* 168 (1995) 342–357.
- [6] Coleman B, Fallon JB, Pettingill LN, de Silva MG, Shepherd RK, Auditory hair cell explant co-cultures promote the differentiation of stem cells into bipolar neurons. *Exp Cell Res* 313 (2007) 232-243.
- [7] Du ZW, Li XJ, Nguyen GD, Zhang SC, Induced expression of Olig2 is sufficient for oligodendrocyte specification but not for motoneuron specification and astrocyte repression. *Mol Cell Neurosci* 33 (2006) 371-380.
- [8] Fair JH, Cairns BA, LaPaglia M, Wang J, Meyer AA, Kim H, Hatada S, Smithies O, Pevny L, Induction of hepatic differentiation in embryonic stem cells by co-culture with embryonic cardiac mesoderm. *Surgery* 134 (2003) 189-196.
- [9] Hamburger V, Hamilton H, A series of normal stages in the development of chick embryo. *J Morphol* 88 (1951) 49-92.
- [10] Harland R, Neural induction. *Curr Opin Genet Dev* 10 (2000) 357-362.
- [11] Iwamoto Y, Araki R, Iriyama K, Oda T, Fukuda H, Hayashida S., Muramatsu T, Purification and characterization of bifunctional alginate lyase from Alteromonas sp. strain no. 272 and its action on saturated oligomeric substrates. *Biosci Biotech Bioch* 65 (2001) 133–142.
- [12] Kim SK, Hebrok M, Melton DA, Notochord to endoderm signaling is required for pancreas development. *Development* 124 (1997) 4243-4252.
- [13] Klingensmith J, Ang SL, Bachiller D, Rossant J, Neural induction and patterning in the mouse in the absence of the node and its derivatives. *Dev Biol* 216 (1999) 535–549.
- [14] Knoetgen H, Teichmann U, WittlerL, Viebahn C, Kessel M, Anterior neural induction by nodes from rabbits and mice. *Dev Biol* 225 (2000) 370–380.
- [15] Kuroda H, Wessely O, De Robertis EM, Neural induction in xenopus: Requirement for ectodermal and endomesodermal signals via Chordin, Noggin, b- Catenin, and Cerberus. *PLOS Biol* 2 (2004) 623-634.
- [16] Le Douarin NM, Early neurogenesis in Amniote vertebrates. *Int J Dev Biol* 45 (2001) 373-378.
- [17] Le Douarin NM, Halpern ME, Discussion point. Origin and specification of the neural tube floor plate: insights from the chick and zebrafish. *Curr Opin Neurobiol* 10 (2000) 23-30.
- [18] Liem KF, Jessell TM, Briscoe J, Regulation of the neural

نقش مواد، سلولها و بافت‌های مختلف را در مراحل مختلف تکوین جنین بررسی کرده و از نتایج حاصل در تمایز سلولهای بنیادی به سلولهای مختلف استفاده نمود. با وجود پیشرفت‌های زیادی که در روش ساختن مراحل مختلف نوروژنز حاصل شده، اما هنوز نقائص زیادی در این زمینه وجود دارد و به نظر می‌رسد فاکتورهای زیادی در القای عصبی نقش دارند که باستی شناسایی شوند که می‌توان با مشخص کردن وقایعی که در طی مراحل مختلف القای عصبی در جنین روی می‌دهد، این فاکتورها و چگونگی عملکردشان با هم و با سیگنالهای محیطی را شناسایی نمود و از اطلاعات بدست آمده در تمایز سلولهای بنیادی به سلولهای عصبی استفاده کرد.

## سپاسگزاری

این مطالعه بخشی از طرح تحقیقاتی مصوب پژوهشکده رویان بود و در پژوهشکده رویان، شاخه‌ی اصفهان اجرا گردید. لذا بدبینو سیله نویسنده‌گان مراتب تشکر و قدردانی خود را از مساعدتهای مسئولین محترم پژوهشکده اعلام می‌دارند.

## منابع

- [1] Ando K, Shioda S, Handa H, Kataoka K, Isolation and characterization of an alternatively spliced variant of transcription factor Islet-1. *J Mol Endocrinol* 31 (2003) 419-425.
- [2] Fleming A, Keynes R, Tannahill D, A central role for the notochord in vertebral patterning. *Development* 131 (2004) 873-880.
- [3] Babaie Y, Herwig R, Greber B, Brink TC, Wruck W, Groth D, Lehrach H, Burdon T, Adjaye J, Analysis of Oct4-dependent transcriptional networks regulating self-renewal and pluripotency in human embryonic stem cells. *Stem Cells* 25 (2007) 500-510.
- [4] Bagutti C, Wobus AM, Fassler R, Watt FM, Differentiation of embryonal stem cells into keratinocytes: comparison of wildtype and beta 1 integrin-deficient cells. *Dev Biol* 179 (1996) 184–196.
- [5] Bain G, Kitchens D, Yao M, Huettner JE, Gottlieb DI,

- [29] Rohwedel J, Guan K, Hegert C, Wobus AM, Embryonic stem cells as an in vitro model for mutagenicity, cytotoxicity and embryotoxicity studies: present state and future prospects. *Toxicol In Vitro* 15 (2001) 741–753.
- [30] Sausedo RA, Schoenwolf GC, Quantitative analyses of cell behaviors underlying notochord formation and extension in muouse embryos. *Anat Rec* 239 (1994) 103-112.
- [31] Smits P, Lefebvre V, Sox5 and Sox6 are required for notochord extracellular matrix sheath formation, notochord cell survival and development of the nucleus pulposus of intervertebral discs. *Development* 130 (2003) 1135-1148.
- [32] Stemple DL, Structure and function of the notochord: an essential organ for chordate development. *Development* 132 (2005) 2503-2512.
- [33] Stewart RM, Gerhart JC, The anterior extent of dorsal development of the Xenopus embryonic axis depends on the quantity of organizer in the late blastula. *Development* 109 (1990) 363-372.
- [34] Sugie Y, Yoshikawa M, Ouji Y, Saito K, Moriya K, Ishizaka S, Matsuura T, Maruoka S, Nawa Y, Hara Y, Photoreceptor cells from mouse ES cells by co-culture with chick embryonic retina. *Biochem Bioph Res Co* 332 (2005) 241–247.
- [35] Teillet MA, Lapointe F, Le Douarin NM, The relationships between notochord and floor plate in vertebrate development revisited. *Dev Biol* 95 (1998) 11733–11738.
- [36] Yamada T, Pfaff SL, Edlund T, Jessell TM, Control of Cell Pattern in the Neural Tube: Motor neuron induction by diffusible factors from notochord and floor Plate. *Cell* 73 (1993) 673-666.
- [37] Wichterle H, Lieberam I, Porter JA, Jessell TM, Directed differentiation of embryonic stem cells into motor neurons. *Cell* 110 (2002) 385–397.
- [38] Wilson M, Maden L, Mechanisms of dorsoventral patterning in the vertebrate neural tube. *Dev Biol* 282 (2005) 1-13.
- patterning activity of sonic hedgehog by secreted BMP inhibitors expressed by notochord and somites. *Development* 127 (2000) 4855-4866.
- [19] Maden M, Retinoid signalling in the development of the central nervous system. *Nat Rev Neurosci* 3 (2002) 843–853.
- [20] Miles G, Yohn D, Wichterle H, Jessell TM, Rafuse V, Brownstone R, Functional properties of motoneurons derived from mouse embryonic stem cells. *J Neurosci* 24 (2004) 7848– 7858.
- [21] Moses D, TeperY, Gantois I, Finkelstein D, Horne MK, Drago J, Murine embryonic EGF-responsive ventral mesencephalic neurospheresdisplay distinct regional specification and promote survival of dopaminergic neurons. *Exp Neurol* 199 (2006) 209–221.
- [22] Okadaa Y, Shimazakia T, Sobueb G, Okano H, Retinoic acid-concentration-dependent acquisition of neural cell identity during in vitro differentiation of mouse embryonic stem cells. *Dev Biol* 275 (2004) 124-142.
- [23] O’Shea KS, Self-renewal vs. differentiation of mouse embryonic stem cells. *Biol Reprod* 71 (2004) 1755–1765.
- [24] Piccolo S, Sasai Y, Lu B, De Robertis EM, Dorsoventral patterning in Xenopus: Inhibition of ventral signals by direct binding of chordin to BMP-4. *Cell* 86 (1996) 589–598.
- [25] Plachta N, Bibel M, Tucker KL, Barde YA, Developmental potential of defined neural progenitors derived from mouse embryonic stem cells. *Development* 131 (2004) 5449–5456.
- [26] Placzek M, Dale K, Tissue recombination in collagen gels. *Meth Mol Biol* 97 (1999) 293-304.
- [27] Placzek M, Jessell TM, Dodd J, Induction of floor plate differentiation by contact-dependent, homeogenetic signals. *Development* 117 (1993) 205-218.
- [28] Rehen SK, McConnell MJ, Kaushal D, Kingsbury MA, Yang AH, Chun J, Chromosomal variation in neurons of the developing and adult mammalian nervous system. *Proc Natl Acad Sci USA* 98 (2001) 13361–1366.